

14/16-IB-EJ-651. 1 Km al E de Bóveda de Toro. Pequeña flexión en las series paleógenas.



14/16-IB-EJ-652. 1 Km al E de Bóveda de Toro. Bloques de conglomerado de cemento calcáreo.



14/16-IB-EJ-653. 0,5 km al N de Bóveda de Toro. Limos y conglomerados paleógenos.



14/16-IB-EJ-654. Km 4,5 de la carretera Bóveda de Toro-Alaejos (Hacia el N). Conglomerados compactados formando un resalte. Paleógeno.



14/16-IB-EJ-655. 2 km al SE de Villabuena del Puente. Buzamiento hacia el E de las capas paleógenas



14/16-IB-EJ-656. Picones. (4 kms al SE de Villabuena del - Puente). Detalle de superficies erosivas paleógenas.



14/16-IB-EJ-657. Tesos Redondos (4 kms al SE de Villabuena del Puente). Las series paleógenas rematadas por las calizas de Valdefinjas.



14/16-IB-EJ-658. Los Llanos (3 Kms al E de Villabuena del Puente), Resalte formado por conglomerados de cemento calcáreo (Series de Valdefinjas).



14/16-IB-EJ-659. Villabuena del Puente (Los Campos).- Ligera discordancia entre el Grupo Superior - Paleógeno y las series de Valdefinjas.



14/16-IB-EJ-660. Villabuena del Puente (Los Campos). Panorámica desde el O.



14/16-IB-EJ-661.

Villabuena del Puente. 2 kms al N.



14/16-IB-EJ-662. Villabuena del Puente. 5 kms al N. (Casa Gavilán). Panorámica del Paleógeno.



14/16-IB-EJ-663.

Los Cantadales. (4 kms al NE de Venialbo)
Series paleógenas.



14/16-IB-EJ-664

Los Cantadales (4 kms al NE de Venialbo). Escarpes paleógenos. En la cumbre, las calizas de Valdefinjas.



14/16-IB-EJ-665. 2 Kms al O de Villabuena del Puente. En la llanura destacan colinas por erosión diferencial de conglomerados compactados.



14/16-IB-EJ-666.

Toro Gordo. Las series paleógenas aparecen cubiertas por derrubios de ladera.



14/16-IB-EJ-667. Paradinas.- Cerros paleógenos con cubierta coluvionar. En la cumbre afloran materiales cuaternarios.



14/16-IB-EJ-668. Escarpes de la orilla derecha del Guareña. Paleógeno.



14/16-IB-EJ-669. Km 4 carretera Toro-Salamanca. Canteras de gravas cuaternarias.



14/16-IB-EJ-670. Km 4 carretera Toro-Salamanca. Arenas estr
tificadas cuaternarias.



14/16-IB-EJ-671. Valle de Sariñana. Escarpes paleógenos.



14/16-IB-EJ-672. Al S de Paleagonzalo. Escarpes paleógenos.



14/16-IB-EJ-673. Dehesa de San Miguel. En la base sedimentos cuaternarios de la Vega del Duero. Al fondo, escarpes lutecienses.



14/16-IB-EJ-674. San Román de la Hornija. Las bodegas se asien tan en las "areniscas de Toro" (Grupo Inferior Paleógeno), y tienen como techo limos compac-tos de la misma edad. Encima se sitúa la fa-- cies Roja de Toro (Mioceno).



14/16-IB-EJ-675. Villafranca de Duero (Las Bodegas de Abajo). Areniscas de Toro (Grupo Inferior Paleógeno)



14/16-IB-EJ-676

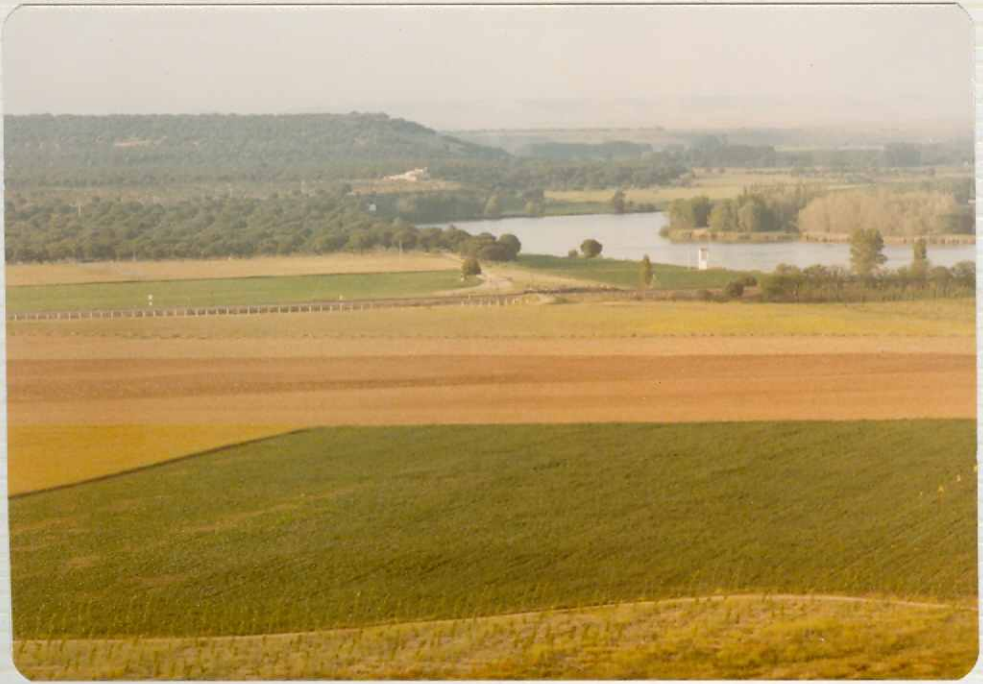
Villafranca de Duero (Las Bodegas de Arriba). Detalle de las "areniscas de Toro" (Luteciense).



14/16-IB-EJ-677. Desde Cubillas hacia el So. Encinares sobre el Cuaternario en el gran meandro de Castronuño.



14/16-IB-EJ-678 Desde Castronuño hacia Cubillas. Encinares sobre las terrazas cuaternarias en el meandro de Castronuño. Las manchas blancas son arenales eólicos.



14/16-IB-EJ-679.

Desde Castronuño hacia "Pedruño" (NE. En primer término la vega del Duero. En segundo, los escarpes del palacio de Cubillas, (Paleógeno-Mioceno-Cuaternario).



14/16-IB-EJ-680

Desde Castronuño hacia el SE (Las Cominas). Escarpes de la orilla izqueirda del Duero. Paleógeno.



14/16-IB-EJ-681. Escarpe de Castronuño. En la base, limos arenosos lutecienses. Sobre ellos las "areniscas de Toro" (misma edad)



14/16-IB-EJ-682. Castronuño (Presa de San José). Detalle de Luteciense.



14/16-IB-EJ-683. Castronuño. Las Atalayas. Panorámica de la llanura paleógena.